

СООБЩЕНИЯ
ОБЪЕДИНЕННОГО
ИНСТИТУТА
ЯДЕРНЫХ
ИССЛЕДОВАНИЙ

ДУБНА



С324.15
Г-175

21/11-77

P2 - 10849

4507/2-77

А.С.Гальперин, Ю.Л.Калиновский

ПОЛЯРИЗУЕМОСТЬ ПИОНОВ
В ЛИНЕЙНОЙ СИГМА-МОДЕЛИ

1977

P2 - 10849

А.С.Гальперин, Ю.Л.Калиновский

ПОЛЯРИЗУЕМОСТЬ ПИОНОВ
В ЛИНЕЙНОЙ СИГМА-МОДЕЛИ

Поляризуемость пионов в линейной сигма-модели

Рассмотрены амплитуда процесса $\gamma\gamma \rightarrow \pi\pi$ и поляризуемость пионов в линейной сигма-модели. Вычисления в алгебре токов и в теории поля с лагранжианами, являющимися нелинейными реализациями киральной симметрии, привели к различным теоретическим предсказаниям относительно поляризуемости ρ^0 -мезона. В данной работе на примере перенормируемой теории поля показано, что амплитуда $\gamma\gamma \rightarrow \pi\pi$ обладает "аномальным" с точки зрения гипотез алгебры токов поведением и резко меняется на пороге рождения двух пионов. В связи с этим экспериментальные результаты должны приводить к различным значениям величины поляризуемости пионов в зависимости от той области энергий, где производится измерение.

Работа выполнена в Лаборатории теоретической физики ОИЯИ.

Сообщение Объединенного института ядерных исследований. Дубна 1977

Pion Polarizability in the Linear Sigma-Model

The amplitude of process $\gamma\gamma \rightarrow \pi\pi$ and pion polarizability within the linear sigma-model are considered. Calculations in the current algebra and in the field theory with Lagrangians have led to various theoretical predictions as to the ρ^0 -meson polarizability. It is shown that $\gamma\gamma \rightarrow \pi\pi$ amplitude has "anomalous" behavior from the point of view of the current algebra hypothesis and changes sharply near the threshold of two-pion production. In this connection the experimental study should give different values for pion polarizability depending on an energy region measured.

The investigation has been performed at the Laboratory of Theoretical Physics, JINR.

Communication of the Joint Institute for Nuclear Research. Dubna 1977

1. Введение

Интерес к вычислению поляризуемости пионов объясняется повышением возможностей экспериментальной техники. Рассмотрение этого вопроса привело к различным теоретическим предсказаниям^{/1, 2/}. Связь поляризуемости элементарных частиц с комитон-эффектом рассматривалась в работах^{/3/}.

В работе^{/1/} поляризуемость пионов вычислена в алгебре токов с использованием PCAC и гипотезы гладкости амплитуды процесса $\gamma\gamma \rightarrow \pi\pi$. В частности, в ней получено, что поляризуемость π^0 -мезона $\alpha_{\pi^0} = 0$. В статье^{/2/} вычисления проводились в теории поля с лагранжианами, являющимися нелинейными реализациями киральной симметрии. В ней получено, что α_{π^0} отлична от нуля и равна $\alpha_{\pi^0} = -0,04 \frac{\alpha}{m_\pi^2}$ ($\alpha = \frac{e^2}{4\pi} = \frac{1}{137}$).

В настоящей работе рассматривается процесс $\gamma\gamma \rightarrow \pi\pi$ в линейной сигма-модели. На примере перенормируемой теории поля показано, что амплитуда $\gamma\gamma \rightarrow \pi\pi$ обладает "аномальными" с точки зрения гипотез алгебры токов поведением и резко меняется на пороге рождения двух пионов.

В следующем разделе мы приведём общий вид амплитуды в линейной σ -модели и получим выражение для поляризуемости пионов в первых двух порядках теории возмущений ($e^2, e^2/\sqrt{s}$) с учётом пионных петель.

В третьем разделе проведём анализ полученных результатов.

2. Вычисление поляризуемости пионов в линейной

σ -модели

Линейная σ -модель - наиболее известный и хорошо изучен-

ний при ее перенормируемой теории, обладающей киральной инвариантностью. Взаимодействие между полями $\bar{\chi}, \sigma$ описывается лагранжианом^{/1/}

$$\mathcal{L} = \frac{1}{2} \{ (\partial_\mu \bar{\chi})^2 + (\partial_\mu \sigma)^2 - \mu^2 (\bar{\chi}^2 + \sigma^2) \} + \frac{1}{4} \lambda (\bar{\chi}^2 + \sigma^2)^2 - a \sigma. \quad (1)$$

Здесь μ - перенормированная масса $\bar{\chi}, \sigma$; a - параметр нарушения симметрии. Если сделать $\sigma = \sigma' - F_\pi$ ($F_\pi = 92$ МэВ - константа слабого распада пиона), получаем:

$$\mathcal{L} = \frac{1}{2} \{ (\partial_\mu \bar{\chi})^2 - m_\pi^2 \bar{\chi}^2 + (\partial_\mu \sigma')^2 - m_\sigma^2 \sigma'^2 \} + \frac{m_\sigma^2 - m_\pi^2}{2 F_\pi} \sigma' (\sigma'^2 + \bar{\chi}^2) - \frac{m_\sigma^2 - m_\pi^2}{8 F_\pi^2} (\sigma'^2 + \bar{\chi}^2)^2. \quad (2)$$

($m_\pi^2 = \mu^2 - \lambda F_\pi^2$, $m_\sigma^2 = \mu^2 - 3\lambda F_\pi^2$). Переход от линейной σ -подели к нелинейной её реализации может быть осуществлён при $m_\sigma^2 \rightarrow \infty$. Результаты, получаемые в линейной и нелинейной σ -моделях, совпадают в древесном приближении.

Лагранжиан взаимодействия пионов с электромагнитным полем имеет вид:

$$\mathcal{L}_{\pi A} = ie A_\mu (\pi^+ \partial_\mu \pi^- - \pi^- \partial_\mu \pi^+) + e^2 A_\mu^2 \pi^+ \pi^-. \quad (3)$$

Амплитуда процесса $\gamma\gamma \rightarrow \pi\pi$ определяется формулой

$$\langle \pi^+(p_1) \pi^+(p_2) | S | \gamma_{\lambda_1}(q_1) \gamma_{\lambda_2}(q_2) \rangle = \frac{i \delta^{ab}(p_1, p_2, q_1, q_2)}{(2\pi)^4 \sqrt{p_1^0 p_2^0 q_1^0 q_2^0}} \epsilon_{\lambda_1}^\mu \epsilon_{\lambda_2}^\nu T_{ab}^{\mu\nu}(p_1, p_2, q_1, q_2)$$

где q_1, q_2 - импульсы фотонов; $\epsilon_{\lambda_1}^\mu, \epsilon_{\lambda_2}^\nu$ - их поляризации; p_1, p_2 - импульсы пионов; a, b - их изотопические индексы. Амплитуда $T_{ab}^{\mu\nu}(p_1, p_2, q_1, q_2)$ в первых двух порядках теории возмущений имеет вид^{/1,2/}:

$$T_{\alpha\beta}^{\pi\nu}(\rho_1, \rho_2; q_1, q_2) = 2e^2(\delta_{\alpha\beta} - \delta_{3\alpha}\delta_{3\beta}) \left\{ gJ^{\nu} - \frac{\rho_1^{\nu}\rho_2^{\nu}}{\rho_1 q_1} - \frac{\rho_2^{\nu}\rho_1^{\nu}}{\rho_2 q_2} + \right. \\ \left. + \frac{1}{(4\pi E_2)^2} (gJ^{\nu} q_1 q_2 - q_1^{\nu} q_2^{\nu}) \beta^{(\alpha)}\left(\frac{q_1 q_2}{m_\pi^2}\right) \right\} + 2e^2 \delta_{3\alpha} \delta_{3\beta} \frac{1}{(4\pi E_2)^2} \\ (gJ^{\nu} q_1 q_2 - q_1^{\nu} q_2^{\nu}) \beta^{(\alpha)}\left(\frac{q_1 q_2}{m_\pi^2}\right). \quad (3)$$

Первые три члена в фигурных скобках — борновские.

$\beta^{(\alpha)}\left(\frac{q_1 q_2}{m_\pi^2}\right), \beta^{(\alpha)}\left(\frac{q_2 q_1}{m_\pi^2}\right)$ — вклады в амплитуду пионных петель для π^{\pm} и π^0 соответственно. В (5) опущены члены, содержащие q_1^{ν} и q_2^{ν} ($q_1 \cdot \varepsilon_1 = q_2 \cdot \varepsilon_2 = 0$). Учтены также равенства $q_1^2 = q_2^2 = 0$, $\rho_1^2 = \rho_2^2 = m_\pi^2$. Амплитуда $T_{\alpha\beta}^{\pi\nu}(\rho_1, \rho_2; q_1, q_2)$, когда пионы находятся вне массовой поверхности, имеет вид [2, 5]

$$T_{\alpha\beta}^{\pi\nu}(\rho_1, \rho_2; q_1, q_2) = 2e^2(\delta_{\alpha\beta} - \delta_{3\alpha}\delta_{3\beta}) \left\{ gJ^{\nu} - \frac{\rho_1^{\nu}\rho_2^{\nu}}{\rho_1 q_1} - \frac{\rho_2^{\nu}\rho_1^{\nu}}{\rho_2 q_2} + \right. \\ \left. + \frac{1}{(4\pi E_2)^2} \left(q_1 q_2 + \frac{1}{3}(\rho_1^2 + \rho_2^2 - 2m_\pi^2) \right) \left(gJ^{\nu} - \frac{q_1^{\nu} q_2^{\nu}}{q_1 q_2} \right) J\left(\frac{q_1 q_2}{m_\pi^2}\right) \right\} + \\ + 2e^2 \delta_{3\alpha} \delta_{3\beta} \frac{1}{(4\pi E_2)^2} \left(q_1 q_2 + \frac{1}{3}(\rho_1^2 + \rho_2^2 - \frac{11}{6}m_\pi^2) \right) \left(gJ^{\nu} - \frac{q_1^{\nu} q_2^{\nu}}{q_1 q_2} \right) J\left(\frac{q_1 q_2}{m_\pi^2}\right). \quad (4)$$

Определение $J\left(\frac{q_1 q_2}{m_\pi^2}\right)$ см. в Приложении.

Вклад нуклонных петель подробно обсуждался в [2]. Поляризуемость

α_{π} пиона определяется как коэффициент эффективного взаимодействия пиона с внешним электромагнитным полем

$$V_{int} = - \frac{\alpha_{\pi}}{2} (\mathbf{E}^2 - \mathbf{H}^2). \quad (7)$$

Тогда из (5) для поляризуемостей получим выражения:

$$\alpha_{\pi\pi} = \frac{1}{(4\pi F_\pi)^2} \frac{e^2}{m_\pi} \beta^{(\pi)}\left(\frac{q, q_1}{m_\pi}\right) \Big|_{\frac{q, q_1}{m_\pi} = 0},$$

$$\alpha_{\pi^0} = \frac{1}{(4\pi F_\pi)^2} \frac{e^2}{m_\pi} \beta^{(\pi^0)}\left(\frac{q, q_1}{m_\pi}\right) \Big|_{\frac{q, q_1}{m_\pi} = 0}. \quad (8)$$

Вычислим вклад пионных петель.

а) $\gamma\gamma \rightarrow \pi^0 \pi^0$.

Амплитуду этого процесса во втором порядке теории возмущений ($e^2 e^2 / F_\pi^4$) дадут диаграммы, показанные на рис. 1, 2 (пунктирные линии — π -мезоны, сплошные — σ , волнистые — γ -кванты). При этом

$$T_{\alpha\beta}^{\mu\nu}(\rho, \rho'; q, q_1) = \frac{2e^4}{(4\pi F_\pi)^2} \delta_{3\alpha} \delta_{3\beta} (m_\sigma^2 - m_\pi^2) \left\{ \frac{m_\sigma^2 - m_\pi^2}{m_\sigma^2 - 2q, q_1} - 1 \right\} \frac{1}{i\pi^2}$$

$$\int \frac{d^4k}{(m_\pi^2 - (k+q)^2 - i\varepsilon)(m_\pi^2 - (k-q_1)^2 - i\varepsilon)} \left\{ g\Gamma^\nu + \frac{4k^\nu k^\nu}{m_\pi^2 - k^2 - i\varepsilon} \right\} =$$

$$= \frac{2e^4}{(4\pi F_\pi)^2} \delta_{3\alpha} \delta_{3\beta} (m_\sigma^2 - m_\pi^2) \left\{ \frac{m_\sigma^2 - m_\pi^2}{m_\sigma^2 - 2q, q_1} - 1 \right\} (g\Gamma^\nu - \frac{q_1^\nu q_1^\nu}{q, q_1}) J\left(\frac{q, q_1}{m_\pi}\right). \quad (9)$$

Вычисление интеграла см. в Приложении. В пределе $m_\sigma^2 \rightarrow \infty$ амплитуда (9), а вместе с ней и поляризуемость совпадают с амплитудой $\gamma\gamma \rightarrow \pi^0 \pi^0$ в нелинейной σ -модели^[2] с нарушением:

$$T_{\alpha\beta}^{\mu\nu}(\rho, \rho'; q, q_1) = \frac{4e^2}{(4\pi F_\pi)^2} \delta_{3\alpha} \delta_{3\beta} (g\Gamma^\nu q, q_1 - q_1^\nu q_1^\nu) \left(1 - \frac{m_\pi^2}{2q, q_1}\right) J\left(\frac{q, q_1}{m_\pi}\right) =$$

$$= \frac{2e^2}{(4\pi F_\pi)^2} \delta_{3\alpha} \delta_{3\beta} (g\Gamma^\nu q, q_1 - q_1^\nu q_1^\nu) \beta^{(\pi^0)}\left(\frac{q, q_1}{m_\pi}\right) \quad (10)$$

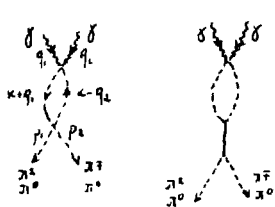


Рис. 1

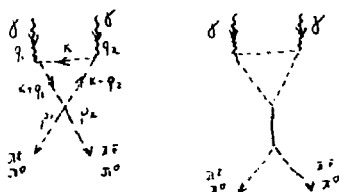


Рис. 2

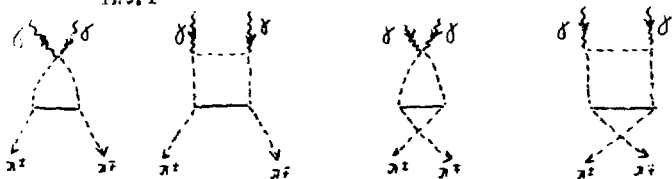


Рис. 3

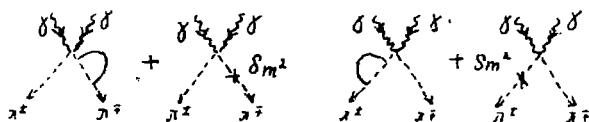


Рис. 4

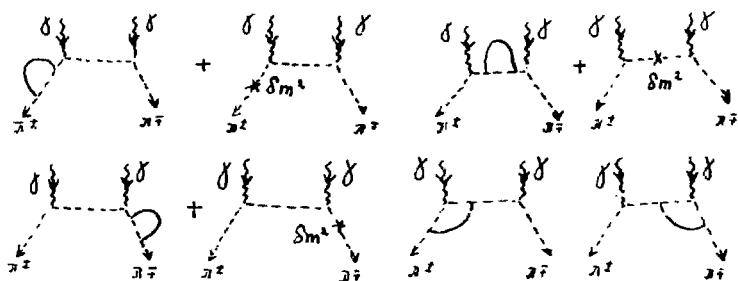


Рис. 5

и

$$\alpha_{\pi^0} \left(\frac{q_1 q_2}{m_\pi^2} \right) = \frac{2e^4}{(4\pi F_\pi)^2 m_\pi} \beta_0^{(\pi)} \left(\frac{q_1 q_2}{m_\pi^2} \right). \quad (II)$$

Вклад барнионных петель в $\gamma\gamma \rightarrow \pi^0 \pi^0$ равен $O(1/2)$. График функции $\beta_0^{(\pi)} \left(\frac{q_1 q_2}{m_\pi^2} \right)$ изображён на рис. 6. Видно, что $\alpha_{\pi^0} \left(\frac{q_1 q_2}{m_\pi^2} \right)$ резко меняется в интервале энергий от 0 до $2m_\pi^2$:

$$\begin{aligned} \alpha_{\pi^0} \left(\frac{q_1 q_2}{m_\pi^2} = 0 \right) &= -0,06 \frac{\alpha}{m_\pi^2}, \\ \alpha_{\pi^0} \left(\frac{q_1 q_2}{m_\pi^2} = 2 \right) &= 0,54 \frac{\alpha}{m_\pi^2}. \end{aligned} \quad (12)$$

б) $\gamma\gamma \rightarrow \pi^+ \pi^-$.

В амплитуду этого процесса во втором порядке теории возмущений ($e^4, c^2/F_\pi^2$) дадут вклад диаграммы, показанные на рис. 1, 2, 3, 4, 5. Значение диаграмм на рис. 1, 2 аналогично вышеизложенному, вклад остальных диаграмм можно вычислить в предположении $q_1 q_2 \ll 2m_\pi^2$ (см. приложение). Окончательно:

$$\left. \overline{J_{\mu\nu}^{\pi^+ \pi^-}}(\mu, \rho, i, q_1, q_2) \right|_{q_1, q_2 \ll 2m_\pi^2} = \frac{2e^4}{(4\pi F_\pi)^2} (\delta_{\mu\nu} - \delta_{3\mu} \delta_{3\nu}) (q_1 q_2) \left(\beta_1^{(\pi^+ \pi^-)} \left(\frac{q_1 q_2}{m_\pi^2} \right) \right) J \left(\frac{q_1 q_2}{m_\pi^2} \right) \quad (13)$$

и

$$\alpha_{\pi^+ \pi^-} \left(\frac{q_1 q_2}{m_\pi^2} \right) = \frac{e^4}{(4\pi F_\pi)^2 m_\pi} J \left(\frac{q_1 q_2}{m_\pi^2} \right) = \frac{e^4}{(4\pi F_\pi)^2 m_\pi} \beta_0^{(\pi^+ \pi^-)} \left(\frac{q_1 q_2}{m_\pi^2} \right). \quad (14)$$

При этом

$$\alpha_{\pi^+ \pi^-} \left(\frac{q_1 q_2}{m_\pi^2} \right) \Big|_{\frac{q_1 q_2}{m_\pi^2} \rightarrow 0} = 0. \quad (15)$$

Из (10) получаем, что дифференциальное сечение процесса $\gamma\gamma \rightarrow \pi^+ \pi^-$ определяется как (см. рис. 6):

$$\frac{d\sigma}{dt} = \frac{1}{2\pi} \frac{e^4}{(4\pi F_\pi)^2} \left| \beta_0^{(\pi^+ \pi^-)} \left(\frac{q_1 q_2}{m_\pi^2} \right) \right|^2, \quad (16)$$

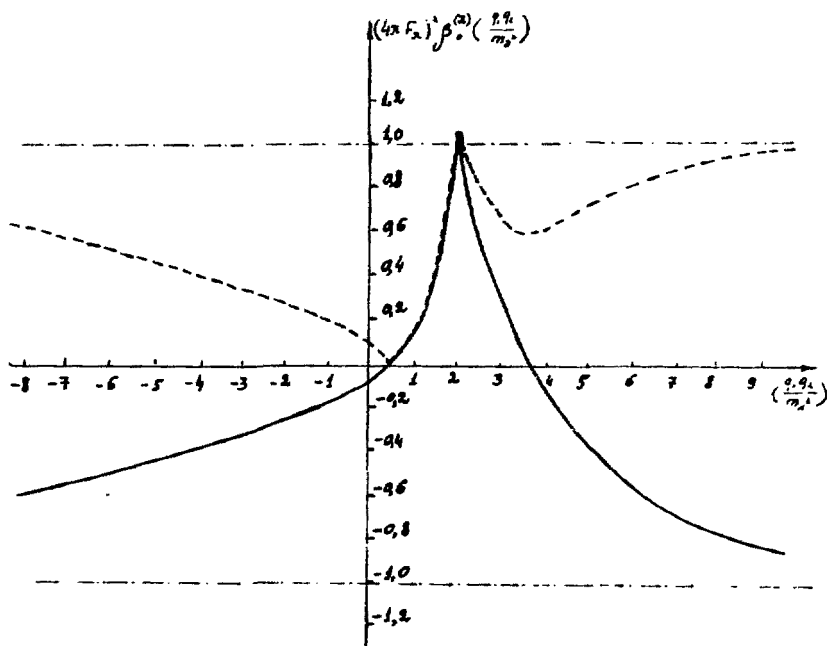


Рис. 6

Сплошная линия - $(4\pi F_2)^4 \operatorname{Re} \beta_0^{(2)}\left(\frac{q, q_0}{m_s^2}\right)$,

пунктирная линия - $(4\pi F_2)^4 \left| \beta_0^{(2)}\left(\frac{q, q_0}{m_s^2}\right) \right|$,

штрих-пунктирные линии - значение $(4\pi F_2)^4 \operatorname{Re} \beta_0^{(2)}\left(\frac{q, q_0}{m_s^2}\right)$ и $(4\pi F_2)^4 \left| \beta_0^{(2)}\left(\frac{q, q_0}{m_s^2}\right) \right|$ при $\alpha_x = 0$.

Единице на оси ординат соответствует поляризуемость $= 8 \cdot 10^{-43} \text{ см}^2$.

и полное ЯК

$$\sigma_{\text{tot}} = \frac{1}{s} \text{Im} \chi(s, 0) = \frac{1}{s} \text{Im} \beta_0^{(2)} \left(\frac{q, q}{m_x^2} \right), \quad (17)$$

где $s = 4(q, q)$, $t = (p_i - q_i)^2$. Полное выражение для $\beta_0^{(2)} \left(\frac{q, q}{m_x^2} \right)$ приведено в Приложении.

3. Обсуждение результатов

Продолжение вычислений в линейной σ' -теории позволяет учесть влияние энергии, изменение амплитуды $\mathcal{H} \rightarrow \mathcal{H} \mathcal{H}$ на расстоянии порядка $2m_x^2$ и проследить влияние вкладов мезонных петель на функцию $\beta_0^{(2)} \left(\frac{q, q}{m_x^2} \right)$ вблизи порога рождения двух нуклонов.

При рассмотрении поляризуемости π^+ -мезона учитывались только мезонные петли, так как барионные вклады не дают $1/2!$, а вклад диаграммы с векторными мезонами дает $1/1!$. Поляризуемость заряженных пионов основной вклад дает барионные петли. Так подробно обсуждалось в $1/2!$.

Алгебра токов $1/1$ с использованием PCAC и гипотезы гладкости определяет значение поляризуемости только в точке $q, q = \frac{1}{2} m_x^2$. Подставляя $\frac{q, q}{m_x^2} = \frac{1}{2}$ в (10), получаем, что $\alpha_{\pi^+} \left(\frac{q, q}{m_x^2} = \frac{1}{2} \right) = 0$, что совпадает с результатами $1/1$.

Так как поляризуемость сильно зависит от той области энергий, в которой производятся измерения, то экспериментальные результаты должны приводить к различным значениям этой величины: измерение поляризуемости в π -мезоатомах возможно при очень малых значениях энергии, а на встречных пучках или в реакции $\gamma N \rightarrow \gamma \pi N$ - вблизи точки $2m_x^2$.

Авторы выражают глубокую признательность В.Н. Первушину за постановку задачи и постоянное внимание к работе, а также

Д.И. Блохинцеву, М.С. Волкову, Ч.А. Иванову и Ф.И. Сиверенскому за стимулирующие дискуссии.

ПРИЛОЖЕНИЕ

Рассмотрим интеграл в (1), соответствующий случаю линейности на рис. 1, 2:

$$\bar{I} = \bar{I}_{(1)} + \bar{I}_{(2)} = \int \frac{dx}{(m_2^2 - (x+q_1)^2 - i\epsilon)(m_2^2 - (x-q_2)^2 - i\epsilon)} \left\{ gJ^{\nu\alpha} + \frac{4\kappa J^{\nu\kappa}}{m_2^2 - \kappa^2 - i\epsilon} \right\}.$$

Используя параметризацию Фейнмана и формулы разложения в регулярности [6], получим:

$$\bar{I}_{(1)} = gJ^{\nu\alpha} i\pi^2 \frac{\Gamma(\epsilon_1)}{\pi^{\epsilon_1} m_2^{2\epsilon_1}} - gJ^{\nu\alpha} i\pi^2 \int_0^1 \ln\left(1 - \frac{p^2}{m_2^2}\right) dx,$$

$$\begin{aligned} \bar{I}_{(2)} = & -gJ^{\nu\alpha} i\pi^2 \frac{\Gamma(\epsilon_2)}{\pi^{\epsilon_2} m_2^{2\epsilon_2}} + gJ^{\nu\alpha} i\pi^2 \int_0^1 \ln\left(1 - \frac{p^2}{m_2^2}\right) dx - i\pi^2 gJ^{\nu\alpha} \\ & + i\pi^2 gJ^{\nu\alpha} \int_0^1 \frac{m_2^2}{\rho^2} \ln\left(1 - \frac{p^2}{m_2^2}\right) dx + 2i\pi^2 \int_0^1 \frac{p^{\nu} p^{\alpha}}{\rho^2} \left\{ 1 - \frac{m_2^2}{\rho^2} \ln\left(1 - \frac{p^2}{m_2^2}\right) \right\} dx, \end{aligned}$$

где $\rho^2 = (q_1 + q_2)x - q_2^2$.

Интеграл $J\left(\frac{q_1 q_2}{m_2^2}\right) = \int_0^1 \ln\left\{1 + \frac{2q_1 q_2}{m_2^2}(x^2 - x)\right\} \frac{dx}{x^2 - x}$ в области

$0 \leq q_1, q_2 < 2m_2^2$ можно вычислить следующим образом. Если обозначить

$\frac{2q_1 q_2}{m_2^2} = \xi$, то

$$\frac{d}{d\xi} J(\xi) = \frac{4}{\sqrt{4\xi - \xi^2}} \operatorname{arctg} \frac{\xi}{\sqrt{4\xi - \xi^2}}.$$

ОТЛУКА

$$\bar{I} = i\pi^2 (g_1^{-\nu} \frac{q_1^{\nu} q_2^{\nu}}{q_1 q_2}) \left\{ \frac{2m_2^2}{q_1 q_2} \left[\operatorname{arctg} \left(\frac{2m_2^2}{q_1 q_2} - 1 \right)^{1/2} \right] - 1 \right\}$$

и

$$\beta_0^{(0)} \left(\frac{q_1}{m_2^2} \right) = \begin{cases} \frac{2}{(4\pi F_2)} \left(1 - \frac{m_2^2}{2q_1} \right) \left\{ \frac{2m_2^2}{q_1 q_2} \left[\operatorname{arctg} \left(\frac{2m_2^2}{q_1 q_2} - 1 \right)^{1/2} \right] - 1 \right\}, & 0 < q_1 < 2m_2^2, \\ \frac{2}{(4\pi F_2)} \left(1 - \frac{m_2^2}{2q_1} \right) \left\{ -\frac{m_2^2}{2q_1 q_2} \operatorname{Ln}^2 \left(\frac{1 + \sqrt{1 - \frac{2m_2^2}{q_1}}}{1 - \sqrt{1 - \frac{2m_2^2}{q_1}}} \right) + \frac{m_2^2}{2q_1} \pi^2 - 1 + \right. \\ \left. + i\pi \operatorname{Ln}^2 \left(\frac{1 + \sqrt{1 - \frac{2m_2^2}{q_1}}}{1 - \sqrt{1 - \frac{2m_2^2}{q_1}}} \right) \right\}, & q_1 > 2m_2^2, \\ \frac{2}{(4\pi F_2)} \left(1 - \frac{m_2^2}{2q_1} \right) \left\{ -\frac{m_2^2}{2q_1 q_2} \operatorname{Ln}^2 \left(\frac{1 + \sqrt{1 - \frac{2m_2^2}{q_1}}}{-1 + \sqrt{1 - \frac{2m_2^2}{q_1}}} \right) - 1 \right\}, & q_1 < 0 \end{cases}$$

При вычислении диаграмм на рис. 3, 4, 5 появляются интегралы

$$\bar{I}_2 = \int \frac{dx}{(m_2^2 - (x+q_1)^2 - i\epsilon)(m_2^2 - (x-q_1)^2 - i\epsilon)(m_0^2 - (x+q_1-p_1)^2 - i\epsilon)}$$

$$\bar{I}_3 = \int \frac{x^2 dx}{(m_2^2 - x^2 - i\epsilon)(m_2^2 - (x+q_1)^2 - i\epsilon)(m_0^2 - m_2^2 - 2q_1 p_1 - x^2 - 2x(q_1 - p_1))}$$

$$\bar{I}_c = \int \frac{\kappa^2 \kappa^0 dx}{(m_2^2 - (\kappa+q_1)^2 - i\epsilon)(m_2^2 - (\kappa-q_1)^2 - i\epsilon)(m_0^2 - \kappa^2)(m_0^2 - m_2^2 + 2q_1 p_1 - \kappa^2 - 2\kappa(q_1 - p_1) - i\epsilon)}$$

Их можно вычислить, переходя к евклидовой метрике и воспользовавшись приближением $q_1 \ll 2m_2^2$. Например, для \bar{I}_2 :

$$\bar{I}_2^{(eukl)} = i \cdot i \int_{-\infty}^{\infty} \frac{\kappa^2 dx}{(m_2^2 + \kappa^2)(m_2^2 + \kappa^2 + 2\kappa q_1)(m_0^2 - m_2^2 + 2q_1 p_1 + \kappa^2 + 2\kappa(q_1 - p_1))} =$$

$$= i \cdot i \int_{-\infty}^{\infty} \frac{\kappa^2 dx}{(m_2^2 + \kappa^2)^2 (m_0^2 + \kappa^2)} \left\{ 1 - \frac{2\kappa q_1}{m_2^2 + \kappa^2} + \dots \right\} \left\{ 1 + \frac{m_2^2 - 2q_1 p_1}{m_0^2 + \kappa^2} - \dots \right\}$$

$$\begin{aligned}
& - \frac{2\kappa(q-p)}{(m_0^2 + \kappa^2)} + \frac{4\kappa(q-p)\kappa(q-p)}{(m_0^2 + \kappa^2)^2} - \frac{4\kappa(q-p)(m_0^2 - 2q\rho)}{(m_0^2 + \kappa^2)^3} + \dots \Big\} - \\
& = i \int_{\rho_0}^{\rho_1} \int \frac{\kappa f d\kappa}{(m_0^2 + \kappa^2)^2 (m_0^2 + \kappa^2)} \left\{ - \frac{2\kappa(q-p)}{m_0^2 + \kappa^2} - \frac{4\kappa(q-p)(m_0^2 - 2q\rho)}{(m_0^2 + \kappa^2)^3} - \right. \\
& \left. - \frac{8\kappa(q-p)(q-p)\kappa(q-p)}{(m_0^2 + \kappa^2)^4 (m_0^2 + \kappa^2)} + \dots \right\}.
\end{aligned}$$

Окончательно :

$$\bar{I}_3 = i\pi^2 \rho_1' \left\{ - \frac{m_0^2}{m_0^2} \ln \frac{m_0^2}{m_0^2} + 2 \frac{m_0^2}{m_0^2} - \frac{1}{2m_0^2} - \frac{1}{3} \frac{(q-p)}{m_0^2} \right\}.$$

Интегралы \bar{I}_3 , I_c считаются аналогично. Приведем результаты:

$$\bar{I}_3 = \left(\frac{1}{2m_0^2} \ln \frac{m_0^2}{m_0^2} + \frac{7}{6} \frac{q-p}{m_0^2} - \frac{m_0^2}{2m_0^2} - \frac{1}{m_0^2} + \frac{1}{3} \frac{q-p}{m_0^2 m_0^2} \right) i\pi^2,$$

$$\begin{aligned}
I_c = i\pi^2 \Big\{ & g_1'''' \left[- \frac{m_0^2}{m_0^2} \ln \frac{m_0^2}{m_0^2} + \frac{1}{2m_0^2} + \frac{1}{6} \frac{m_0^2}{m_0^2} \right] + \\
& + \frac{g_1'''' q_1 q_2 - q_1'' q_2''}{6 m_0^2 m_0^2} - \frac{g_1'''' q_1 q_2 - q_1'' q_2''}{3 m_0^2} - \frac{\rho_1' \rho_2'' + \rho_1'' \rho_2'}{3 m_0^2} \Big\}.
\end{aligned}$$

Литература

1. А. А. Черепеньев. Д., 16, 102, 1972; ЖЭТФ, 112, 37, 1974.
2. А. А. Волков, В. М. Первушин. Д., 32, 340, 1975.
3. А. А. Волков. Тр. ЭИАН, 41, Наука, 1968;
A.M.Baldin. Nucl.Phys., 18, 310, 1960;
F.Cannata, P.Mazzanti. Preprint IFUB/77-4.
4. S.Gasiorowicz, D.A.Geffen.Rev.of Mod.Phys., 41,531, 1969;
А. де Альбаро и др. Токи в физике адронов, Мир, М.,
1976.
5. А. А. Волков, В. М. Первушин. ДФ, 20, 762, 1974.
6. F.Cannata, S.Zerbini and P.Mazzanti. Lett.Nuovo Cimento,
10, 649, 1970.
7. G.Leibbrandt. Rev.of Mod.Phys., 47, 849, 1975.

Рукопись поступила в издательский отдел
13 августа 1977 года.